

小角散乱法データを用いた 試料パラメータのベイズ推論

林悠偉^A, 片上舜^A, 桑本滋生^B, 永田賢二^C,
水牧仁一郎^B, 岡田真人^A

目次

- 小角散乱法の実験概要
- 従来解析方法
- ベイズ推定
- 数値実験

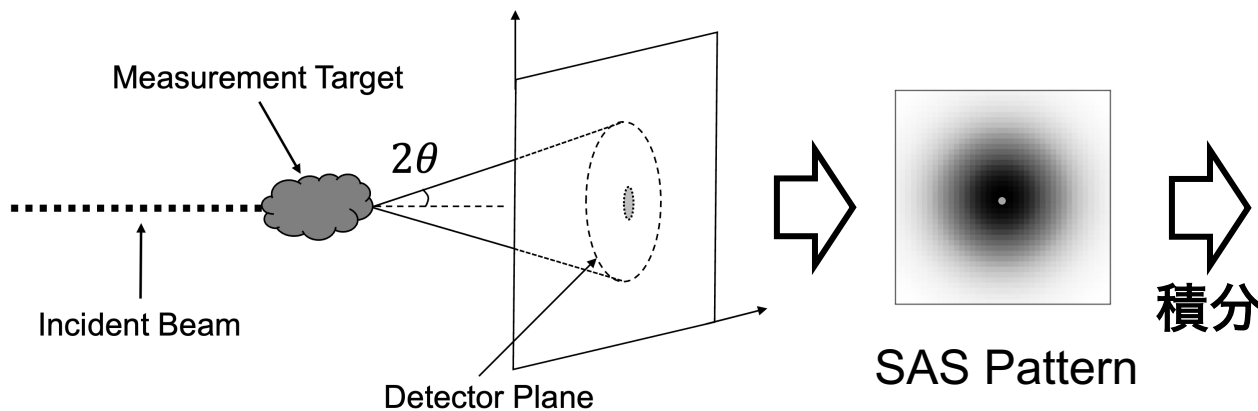
目次

- 小角散乱法の実験概要
- 従来解析方法
- ベイズ推定
- 数値実験

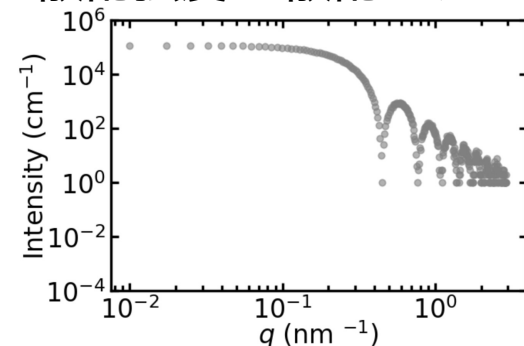
小角散乱 (SAS)

試料にX線や中性子線を照射して生じる散乱のうち小さい角度領域の散乱強度を調べ、試料の周期構造やナノ粒子の大きさ等のナノスケールの構造情報を非破壊的に解析する。

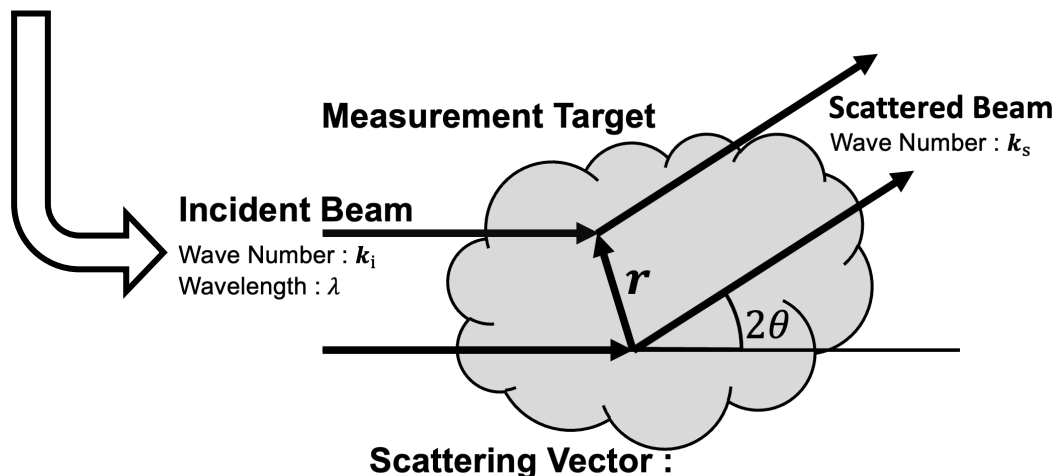
実験の概略図



散乱強度 - 散乱ベクトル



計測データ



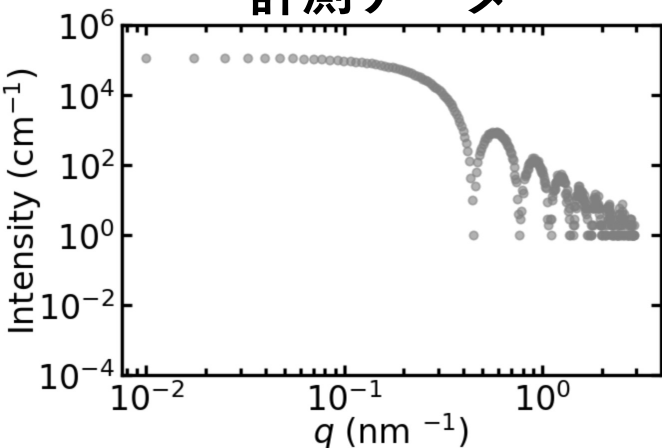
$$q = |q| = |k_s - k_i| = \frac{4\pi\sin\theta}{\lambda}$$

SASデータ解析

計測データに対してフィッティングを行い、試料の大きさなどのパラメータを推定する。

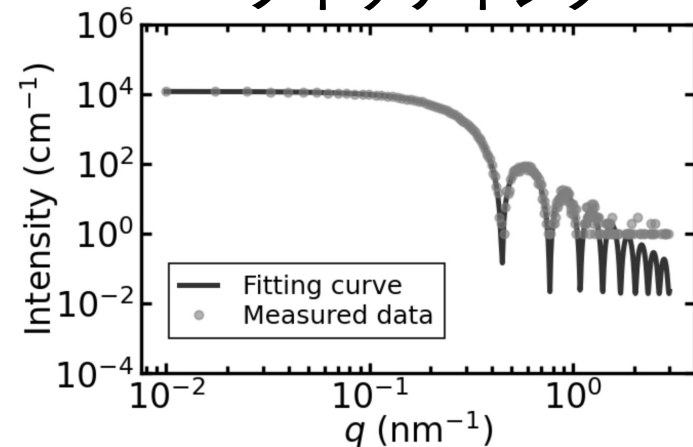
例：単分散球の場合

計測データ



理論式(モデル)

フィッティング



モデル

散乱強度：

$$I_M(q; \Theta) = \left[\frac{\phi}{V} \left\{ \frac{3\Delta\rho V [\sin(qR_M) - qR_M \cos(qR_M)]}{(qR_M)^3} \right\}^2 + b \right] \times t$$

パラメータ： $\Theta = \{R_M, b, t\}$



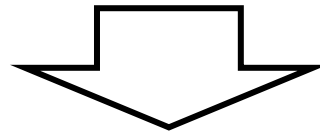
パラメータ Θ を推定

目次

- X線小角散乱法の実験概要
- 従来¹の解析方法
- ベイズ推定
- 数値実験

従来のフィッティング方法

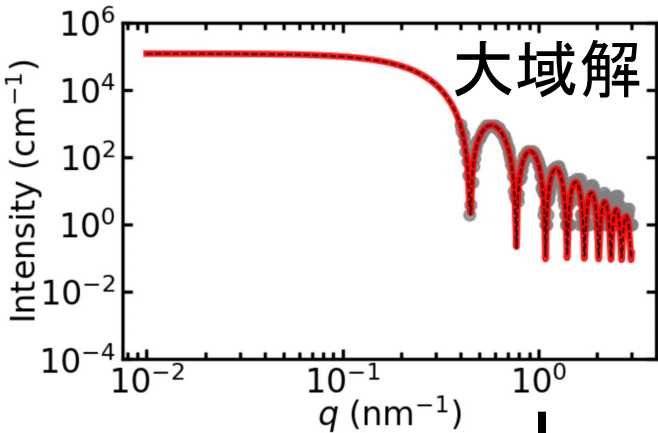
- 非線形最小二乗法(勾配法, Levenberg-Marquardt法)
- ハンドフィッティング



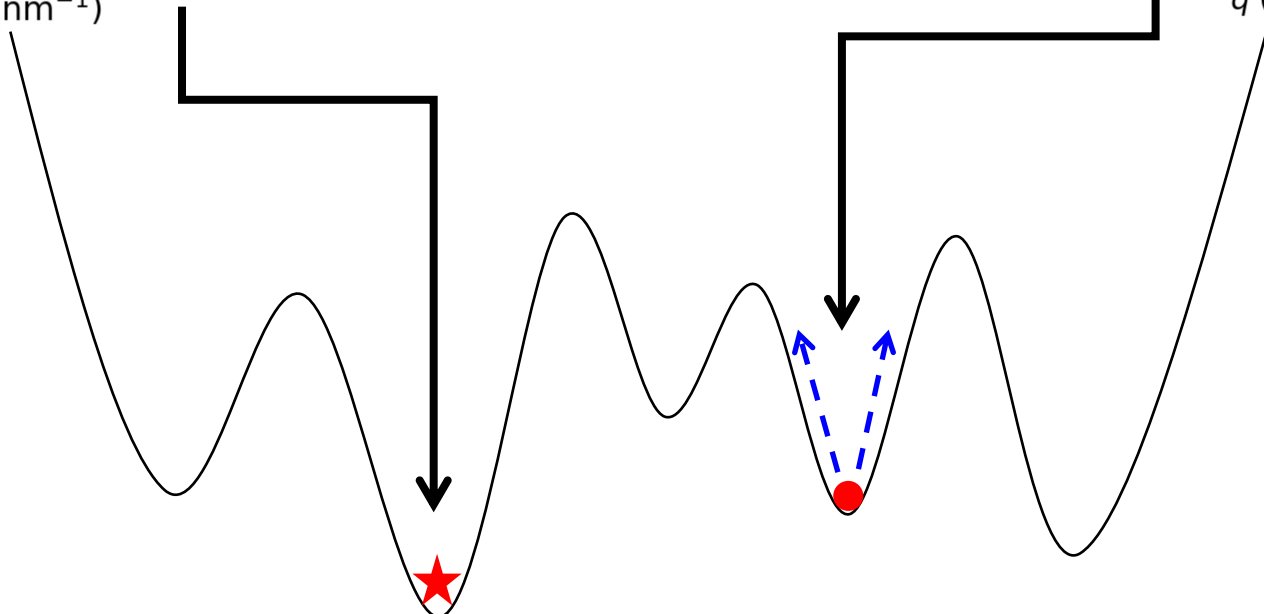
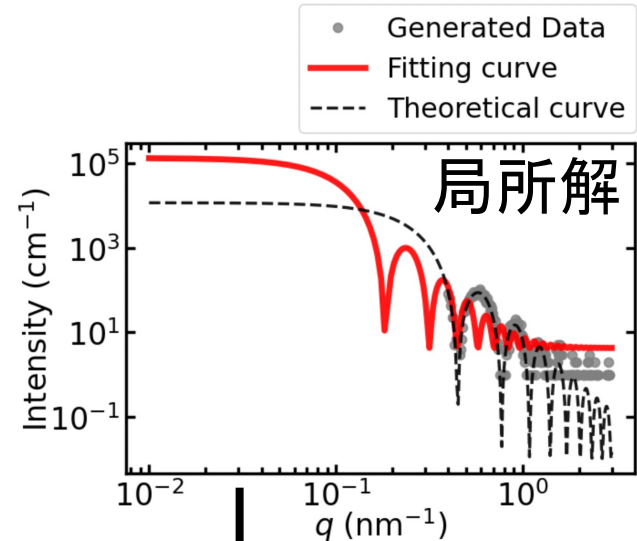
問題点

- 局所解に陥りやすく, 逃れる機構を持たない.
- 推定結果の信頼度を調べるのが難しい.
- 解析過程で用いた事前知識が客観的に分かり難い.

誤差関数は局所解を持つ



<通常の最適化法>
e.g., 勾配法, LM法



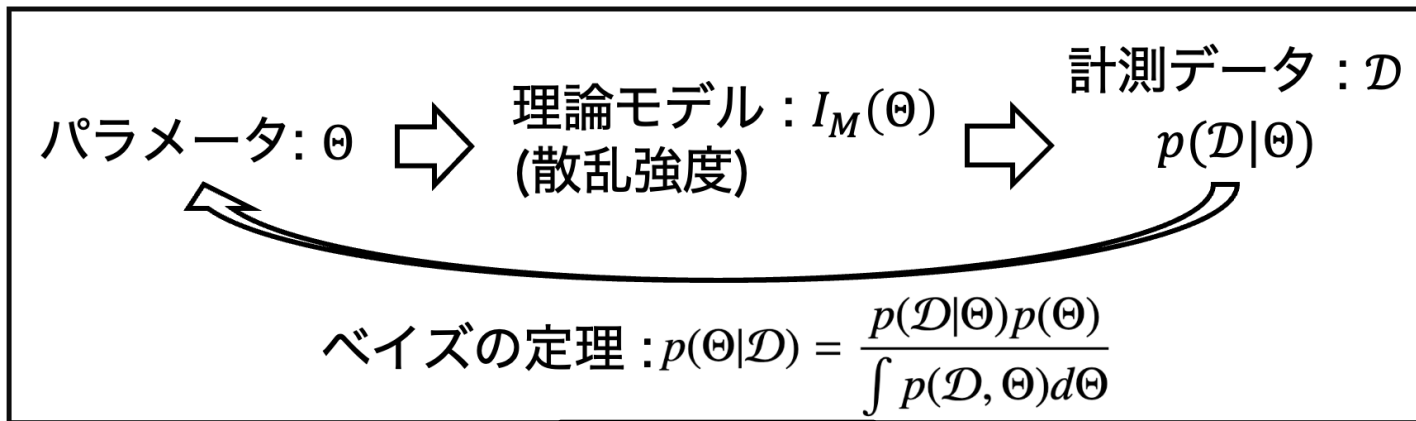
局所解から逃れることが可能で、
推定の信頼度を解釈することが出来る解析手法が必要

目次

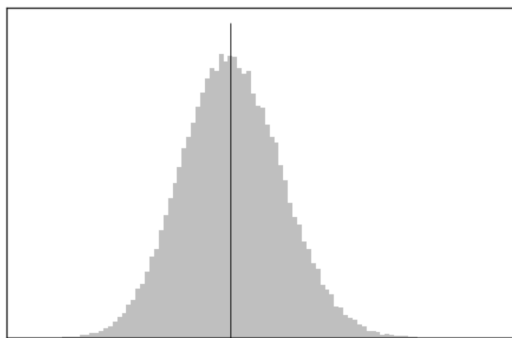
- X線小角散乱法の実験概要
- 従来 of 解析方法
- **ベイズ推定**
- 数値実験

ベイズ推定

計測データからパラメータを事後分布として分布推定する。



ベイズ推定



パラメータの推定結果
(事後分布)



- ピーク形状
- 統計量 (分布の分散, 信用区間, ...)

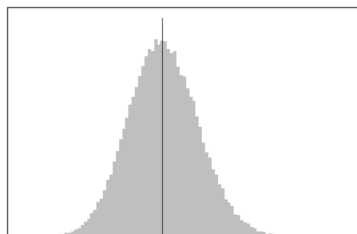
信頼度を解釈

ベイズ推定の要点

- パラメータのサンプリングに交換モンテカルロ法[1](EMC)を用いることで局所解から逃れることが可能。

[1] K. Hukushima and K. Nemoto, 1996

- 分布推定することで形状や統計量から信頼度を解釈することが可能。



パラメータの推定結果
(事後分布)

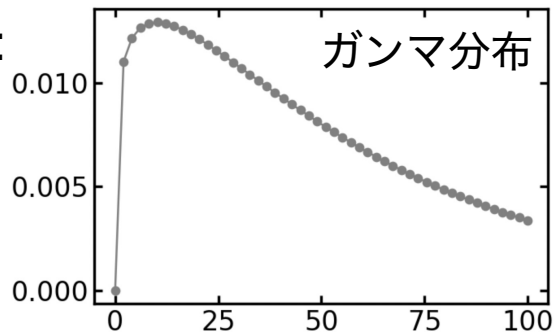


- ピーク形状
- 統計量 (分布の分散, 信用区間, ...)

信頼度を解釈

- 事前知識を事前分布として、陽に用いることが可能。

例：正の領域で定義される θ の事前分布 $p(\theta)$ ：

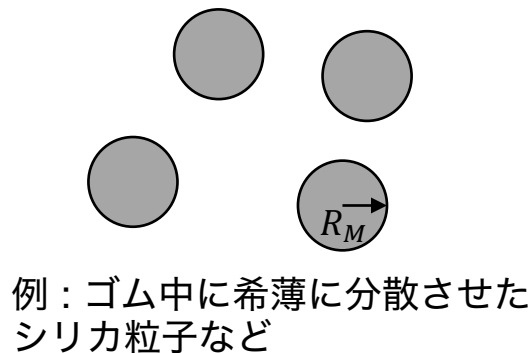


目次

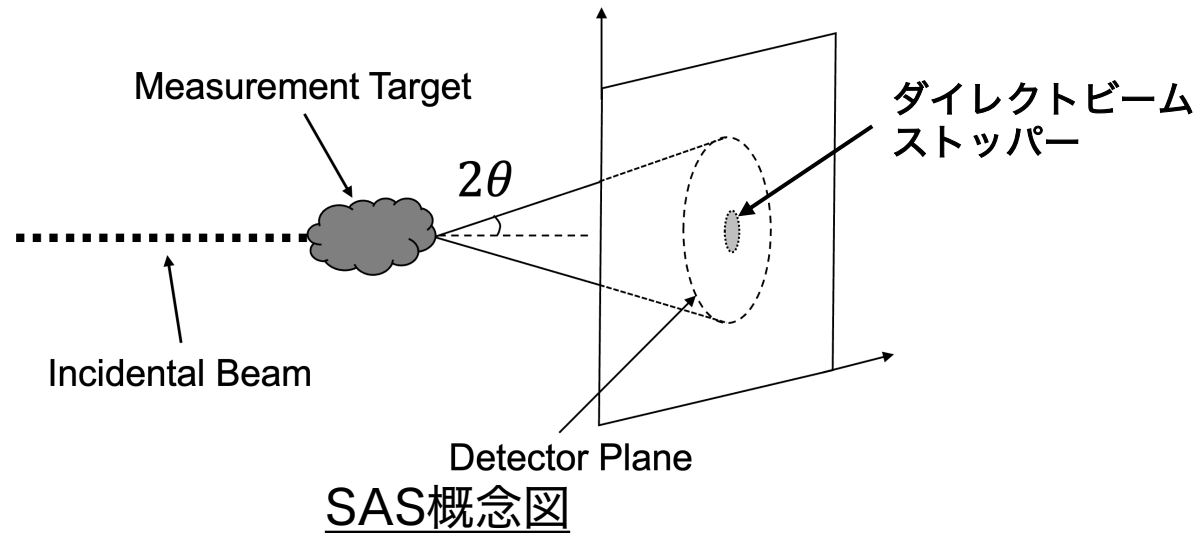
- X線小角散乱法の実験概要
- 従来 of 解析方法
- ベイズ推定
- **数値実験**

数値実験：モデルパラメータの推定

単分散球から成る試料の人工データから、パラメータ θ を推定する。



単分散球



目的

データの小角領域の欠損に対してパラメータ推定の限界を調べる。

パラメータ推定の手順

1. 理論モデルとパラメータ θ の事前分布を設定する。
2. 事後分布からパラメータ θ をEMCでサンプリングする。

数値実験 – 設定

理論モデル

$$\text{散乱強度} : I_M(q; \Theta) = \left[\frac{\phi}{V} \left\{ \frac{3\Delta\rho V [\sin(qR_M) - qR_M \cos(qR_M)]}{(qR_M)^3} \right\}^2 + b \right] \times t$$

$$\text{パラメータ} : \Theta = \{R_M, b, t\}$$

R_M : 粒子の半径
 b : バックグラウンドノイズ
 t : 計測時間

コスト関数

$$\text{ポアソンコスト関数} : E(\Theta) = \frac{1}{N} \sum_{i=1}^N \left\{ I(q_i; \Theta) - y_i \log I(q_i; \Theta) + \sum_{j=1}^{y_i} \log j \right\}$$

事前分布

$$\text{パラメータ}\Theta\text{の事前分布} : p(\Theta) = p(R_M)p(b)p(t)$$

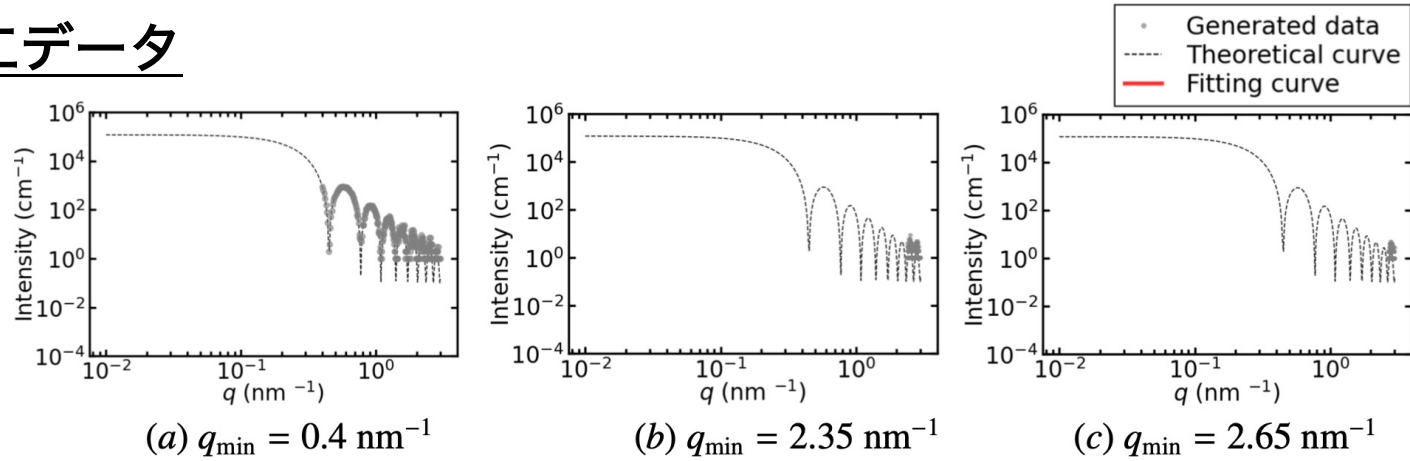
$$\text{粒子の半径}R_M : p(R_M) = \text{Gamma}(1.5, 100)$$

$$\text{バックグラウンドノイズ}b : p(b) = \text{Gamma}(1.8, 1)$$

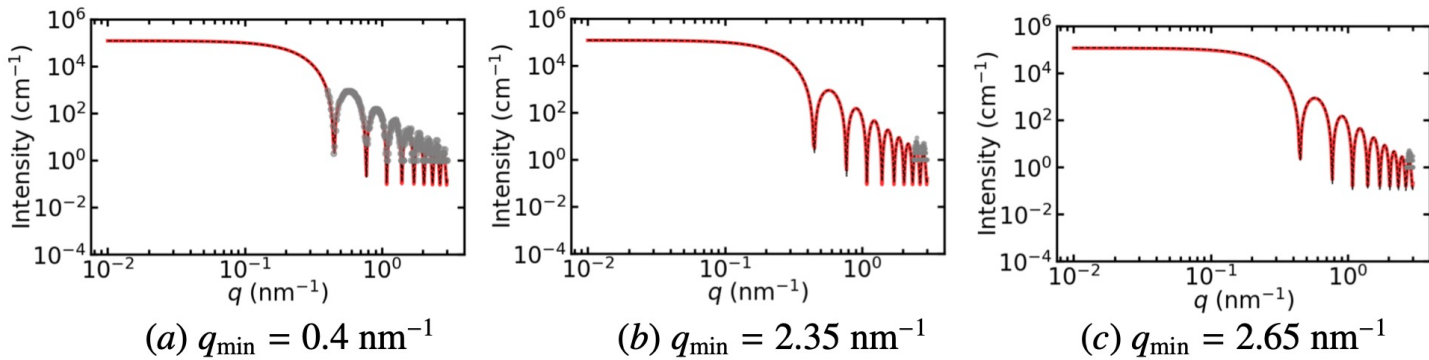
$$\text{計測時間}t : p(t) = \text{Gamma}(1.1, 1)$$

数値実験 - 結果

人工データ



フィッティング結果



MAP推定解

真値	$q_{\min} [\text{nm}^{-1}]$	$R_M [\text{nm}]$	$b [\text{cm}^{-1}\text{sr}^{-1}]$	t
$R_M = 10$	0.4	$10.00^{+0.01}_{-0.01}$	$(8.71^{+15.10}_{-7.01}) \times 10^{-3}$	$10.06^{+0.15}_{-0.16}$
$b = 0.01$	2.35	$10.02^{+0.03}_{-0.03}$	$(8.74^{+15.03}_{-6.15}) \times 10^{-3}$	$9.85^{+1.25}_{-1.55}$
$t = 10$	2.65	$10.01^{+1.18}_{-1.16}$	$(1.60^{+1.49}_{-1.01}) \times 10^{-2}$	$9.51^{+4.05}_{-2.06}$

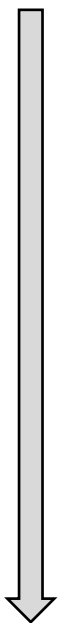
±(99%信用区間)

数値実験 - 結果

パラメータの事後分布

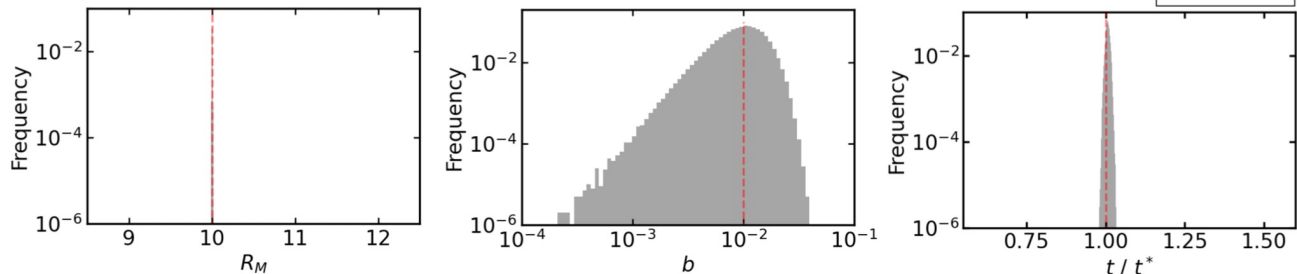
データ欠損

小

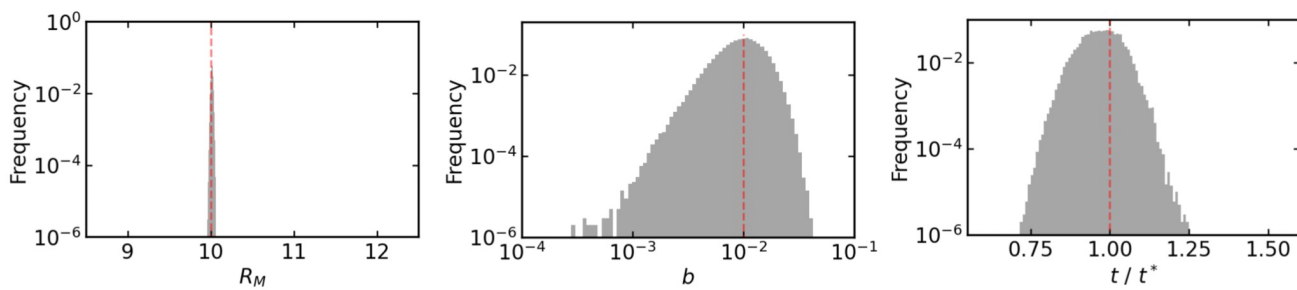


大

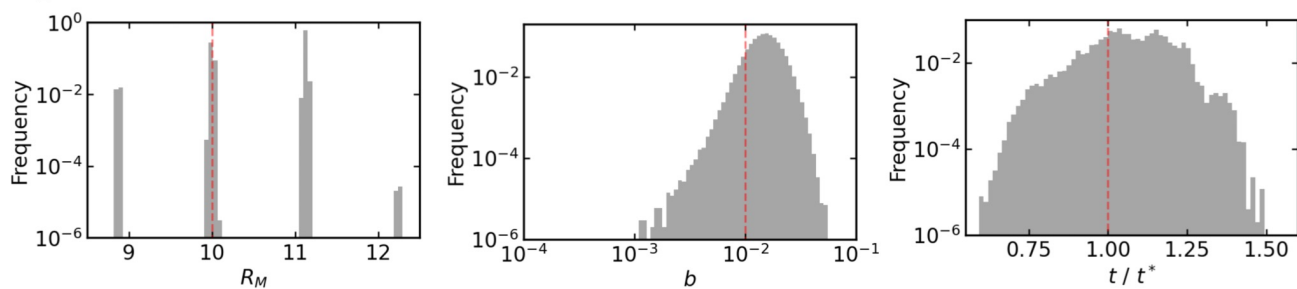
(a) $q_{\min} = 0.4$



(b) $q_{\min} = 2.35$



(c) $q_{\min} = 2.65$



t の真値: t^*

$q_{\min} = 2.65$ のとき R_M のヒストグラムに複数のピークが見られる。

→ $q_{\min} = 2.35 - 2.65 \text{ nm}^{-1}$ で推定限界

まとめ

- 交換モンテカルロ法を用いることで局所解を避けてパラメータ推定することが出来た.
- パラメータを分布推定し, 推定の信頼度を解釈した.
→データの角度領域の欠損に対する推定限界を求めた.

今後の課題

- 現実のデータを用いた本手法の性能評価
- ベイズモデル選択を用いた試料構造の解析